

Modellistica

Cos'è un modello
Caratteristiche dei modelli
Modelli matematici
Metodi formali
Esempi per sistemi semplici

Modelli di Processi

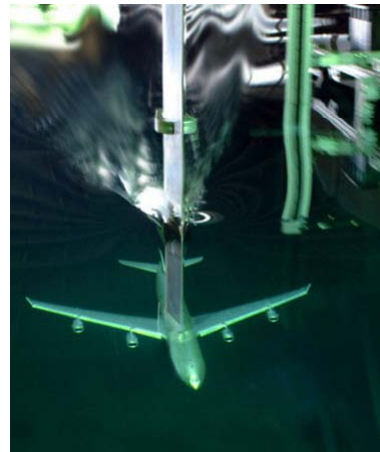
Descrizione o realizzazione di un fenomeno o di un oggetto, che evidenzia alcuni aspetti di interesse

ESEMPI

Modello in scala
Modello analogico



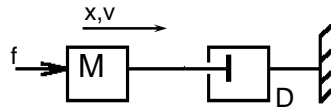
Modello grafico
Modello matematico*



*** gli unici manipolabili con un calcolatore.**

ES1: Sistema Massa - Smorzatore

modello
grafico

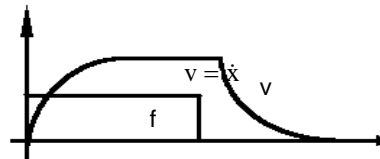


1° livello
di astrazione

equazione

$$\frac{dv}{dt} = \frac{1}{M}(f - vD)$$

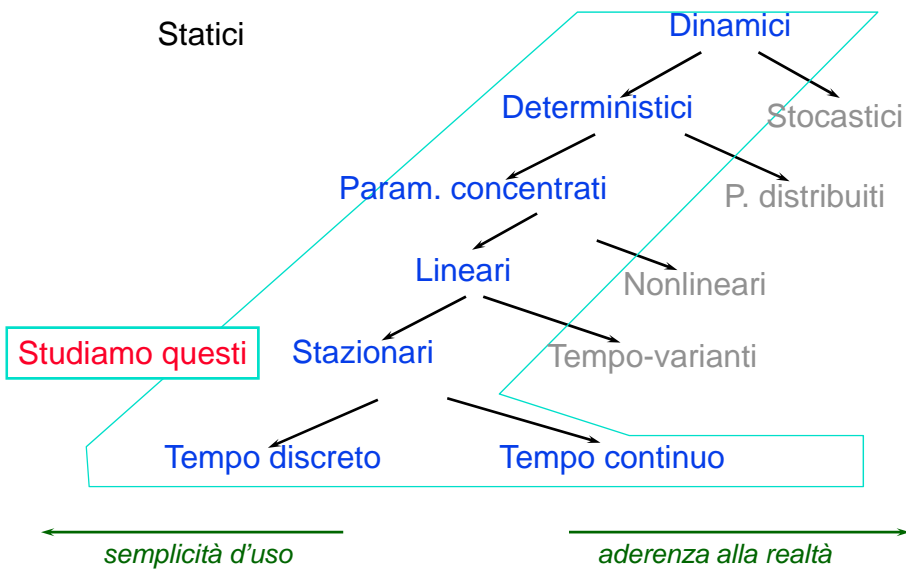
diagrammi



Si perde il
“meccanismo”
FISICO

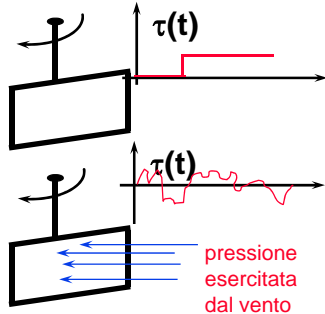
Modello in scala: non riportabile qui in quanto non è
informazione

Una tassonomia dei Modelli



Modelli Deterministici e non

Il modello è deterministico quando sono “ben” noti tutti gli ingressi applicati



Esempio di situazione deterministica:

pendolo soggetto a una coppia $\tau(t)$ nota, descrivibile come funzione.

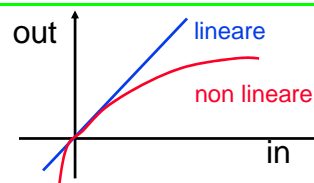
Esempio di situazione non deterministica:

pendolo soggetto a una coppia $\tau(t)$ derivante dalla pressione dal vento (caos dovuto a vorticosità).

Caso non deterministico: non si può/interessa determinare con esattezza il moto del pendolo istante per istante, si usa una **modellazione stocastica**: si usano grandezze statistiche, invece di quelle istantanee (ad es. la media, la varianza, ecc..).

Linearità

Sulle caratteristiche statiche (a regime)

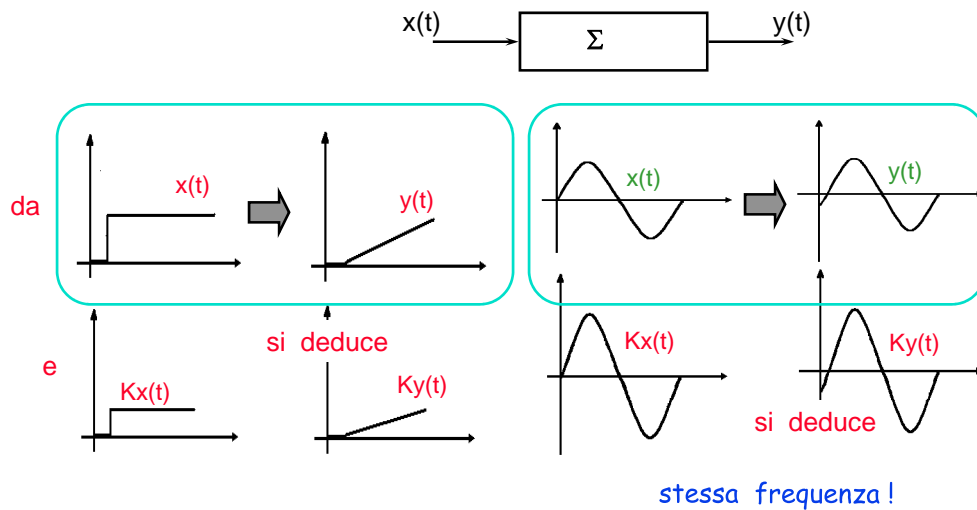


$$y=f(x) \text{ è lineare se } y = f(ax_1 + bx_2) = af(x_1) + bf(x_2) = ay_1 + by_2$$

detto **PRINCIPIO DI SOVRAPPOSIZIONE**

LINEARE	NON LINEARE
$y = kx$	$y = x^2$
$y = \frac{dx}{dt}$	$y = x $
$y = \int x dt$	$y = \text{sign}(x)$
	$y = e^x$

Utilità Della Linearità



Si intuisce che la conoscenza necessaria sul sistema si riduce notevolmente: il modello può essere "compattato"

Altre proprietà

Tempo varianti (non stazionari)

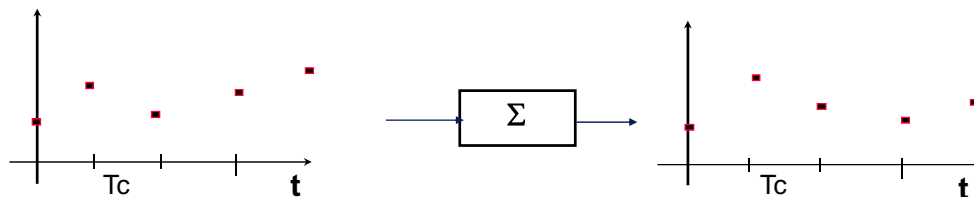
$$y = k(t) \cdot x$$



$$F = M(t) \cdot a$$

(analogo ad un missile che consuma il propellente)

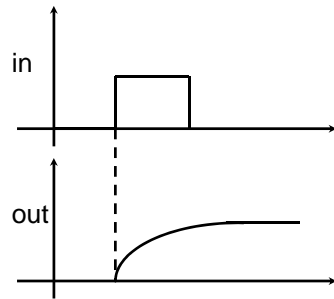
Tempo discreto



Invece di eq. differenziali, eq. alle differenze:
Es. Programmi di simulazione sul computer.

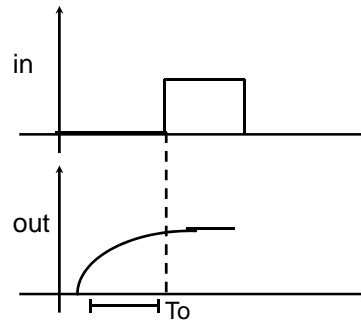
$$x_{k+1} = bx_k + au_k$$

Causalità (proprietà di...)



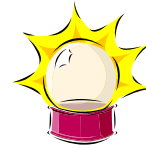
causale

Ogni effetto deve succedere temporalmente alla propria causa

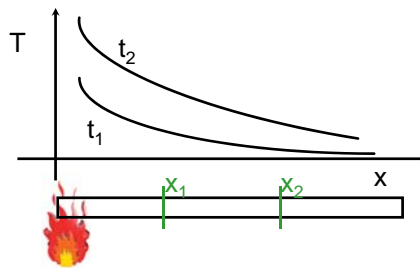


non causale

L'effetto precede la causa, impossibile !



Parametri Distribuiti

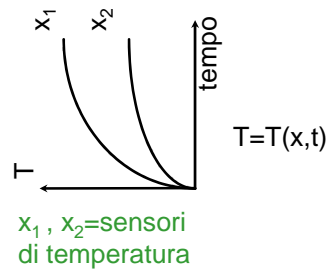


Es.: barretta riscaldata ad un'estremità

Equazione differenziale alle derivate parziali
Difficilissima da trattare in generale

Soluzione

Considerare N elementi (detti elementi finiti)
con T= costante all'interno



x_1, x_2 =sensori di temperatura

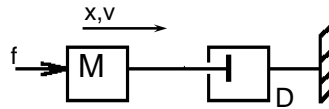
$$f\left(T, \frac{\partial T}{\partial t}, \frac{\partial^2 T}{\partial x^2}\right) = 0$$

T_1	T_2	T_3	T_4	T_N
-------	-------	-------	-------	-------	-------

Per ognuno scrivere un'equazione
ottenendo N equazioni differenziali ordinarie

Massa – Smorzatore rivisto

racpresentazione
grafica



equazione

$$\frac{dv}{dt} = \frac{1}{M}(f - vD)$$

Deterministico (se $f(t)$ è un gradino, senoide, ecc.)

Parametri concentrati (ma vedi dopo)

Lineare

Stazionario

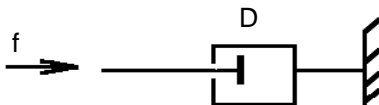
Tempo continuo

Sistema Massa - Smorzatore

ATTENZIONE al livello di dettaglio

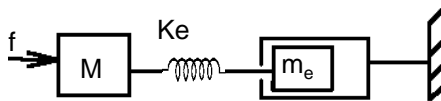
- fenomeni molto lenti:

$$M \frac{dv}{dt} \approx 0$$



$$f = v D$$

- fenomeni molto veloci

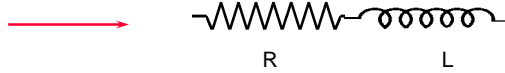


inoltre F non è costante
con la velocità di
spostamento

Il modello "ottimo" va determinato in base alle
esigenze del problema

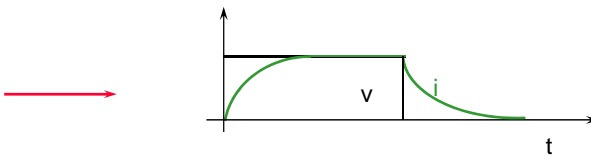
ES2: Circuito RL

POSSIBILI MODELLI



anche questo è un modello

$$v(t) = Ri(t) + L \frac{di}{dt}$$



Quello in scala ha l'inconveniente di non essere informazione pura

ES2: Circuito RL

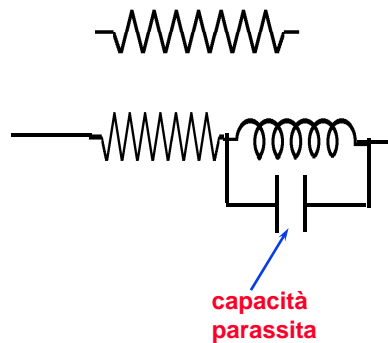
MA:

Se la frequenza è molto bassa

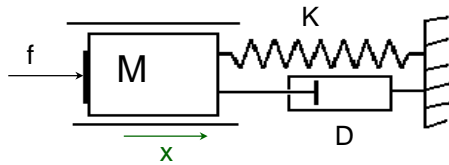
Se la frequenza è molto alta

ed esistono altre varianti importanti

Il modello "ottimo" va determinato in base alle esigenze del problema



ES3: Massa molla smorzatore



molla: $f_e = -Kx$

smorzatore: $f_s = -D\dot{x}$

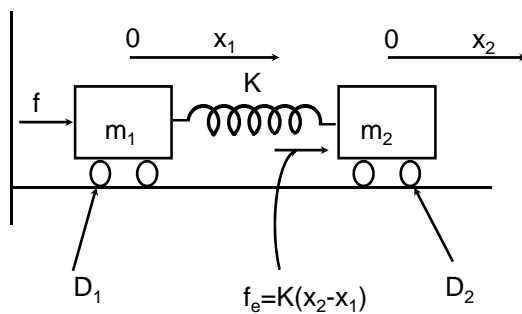
$x=0$: riposo della molla

$$M\ddot{x} = \sum f_i = f - Kx - D\dot{x}$$

$$M\ddot{x} + D\dot{x} + Kx = f$$

Equivale al circuito RLC

ES4: 2 masse 1 molla



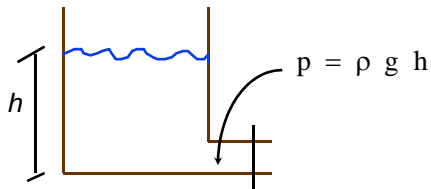
Scelti in modo che
quando $x_1=x_2=0$ la
molla sia a riposo

$$\begin{cases} m_1\ddot{x}_1 = f + K(x_2 - x_1) - D_1\dot{x}_1 \\ m_2\ddot{x}_2 = -K(x_2 - x_1) - D_2\dot{x}_2 \end{cases}$$

Si possono scrivere 4 eqs del 1° ord.
usando:

$$\dot{x}_1 = v_1; \dot{x}_2 = v_2$$

ES5: Sistema Idraulico Elementare



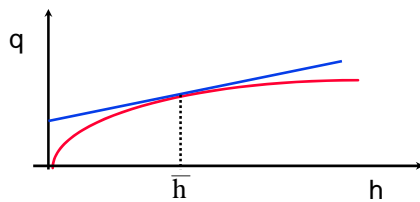
$$p: P_a = [N / m^2]$$

$$\rho: [Kg / m^3]$$

$$A = [m^2]$$

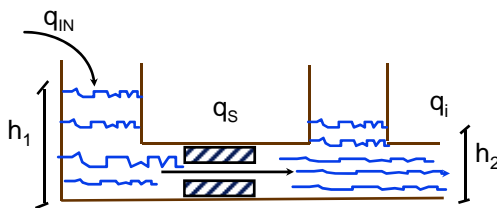
(dal teorema di Bernoulli) $v = \sqrt{\frac{2}{\rho} \Delta p}$

$$q = Av = A\sqrt{2gh}$$



ES6: Due serbatoi

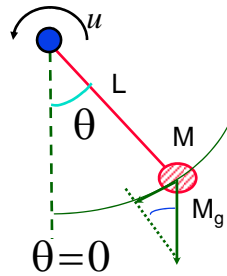
Trascuriamo (qui) le non linearità e l'inerzia del fluido



$$q_S = \frac{h_1 - h_2}{R}$$

$$\begin{cases} A_1 \dot{h}_1 = \sum q_i = q_{IN} - \frac{h_1 - h_2}{R} \\ A \dot{h}_2 = \frac{h_1 - h_2}{R} - q_u \end{cases}$$

Pendolo



Coppie

input	u
gravità	$\tau_g = -M_g L \sin \theta$
inerzia	ML^2

bilanciamento delle coppie:

$$J\dot{\omega} = \sum \text{coppie}$$

$$J\ddot{\theta} = u - MgL \sin \theta$$

equazione NON lineare
ma valida per ogni θ



(pendoli al lavoro)

Passi per modellare un Σ

Diagramma schematico del sistema e definizione delle variabili

Derivazione delle **equazioni matematiche** dei componenti elementari (blocchi).

Interconnessione dei modelli elementari

Validazione sperimentale (confronto tra simulazioni e esperimenti)

eq. di equilibrio
Kirchoff: Σ elettrici
Lagrange: Σ meccanici
Bernoulli: Σ idraulici

utili

ALTERNATIVAMENTE

Identificazione del modello dalle **misure**
(legame ingresso-uscita)

ES7: Un Σ meccanico

Le equazioni di Lagrange

$$\frac{d}{dt} \frac{\partial L}{\partial \dot{q}_i} - \frac{\partial L}{\partial q_i} = u_i$$

$$L = T - U$$

T : en. cinetica
 U : en. potenziale

Indispensabili nel caso
dei robot industriali

q_i : coord. Lagrangiane (posizioni)

q : angolo dalla verticale

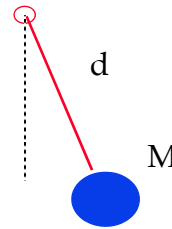
u : coppia al fulcro

$$T = \frac{1}{2} I \dot{q}^2 \quad U = U_0 - M g d \cos(q)$$

$$\frac{d}{dt} \frac{\partial L}{\partial \dot{q}_i} = \frac{d}{dt} \frac{\partial T}{\partial \dot{q}_i} = \frac{d}{dt} (I \dot{q}) = I \ddot{q}$$

$$\frac{\partial L}{\partial q} = - \frac{\partial U}{\partial q} = -M g d \sin(q)$$

$$I \ddot{q} + M g d \sin(q) = u(t)$$



Anche qui si possono
scrivere 2 eqs del 1° ord

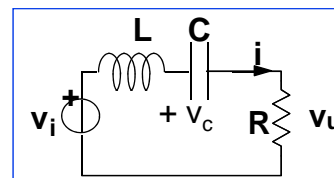
ES8: Un Σ elettrico

$$\sum v = 0$$

$$L \frac{di}{dt} + \frac{1}{C} \int i(\tau) d\tau + v_c(0) + Ri(t) = v_i(t)$$

$$L \frac{d^2 i}{dt^2} + R \frac{di}{dt} + \frac{1}{C} i(t) = \frac{dv_i}{dt}$$

$$v_u = Ri(t)$$



← Un eq. del
2° ordine

Oppure...

$$\begin{cases} L \frac{di}{dt} = -(v_c(t) + Ri) + v_i(t) \\ C \frac{dv_c}{dt} = i(t) \end{cases}$$

$$v_u = Ri(t)$$

← Due eq. del
1° ordine

Tipi di Modelli matematici

Due formati standard

a) Un'equazione differenziale di ordine **N**

$$a_N \frac{d^N y}{dt^N} + \dots + a_0 y(t) = b_M \frac{d^M u}{dt^M} + \dots + b_0 u(t)$$

"Relazione
ingresso - uscita"

b) **N** equazioni differenziali di 1° ordine

$$\begin{cases} \dot{x}_1 = \sum_1^N a_{1h} x_h + \sum_1^M b_{1k} u_k \\ \vdots \\ \dot{x}_N = \sum_1^N a_{Nh} x_h + \sum_1^M b_{Nk} u_k \end{cases} \quad \text{dove } X \text{ è lo STATO}$$

"Relazione
ingresso - stato"

per ora assumiamo che
l'uscita sia uno degli stati

*Ma lo stato è qualcosa di più di una sostituzione
di variabili*

Rappr. Ingresso-Uscita

Ingresso



Uscita

un operatore lineare
(e.g. risposta armonica)

Deriva da un'equazione differenziale in cui
compaiono l'ingresso $u(t)$ e l'uscita $y(t)$

$$a_n \frac{d^n y(t)}{dt^n} + \dots + a_1 \frac{d y(t)}{dt} + a_0 y(t) = b_m \frac{d^m u(t)}{dt^m} + \dots + b_1 \frac{d u(t)}{dt} + b_0 u(t)$$

Per sistemi relativamente semplici

Grande semplicità di impiego x SISO; esteso a MIMO diviene complesso

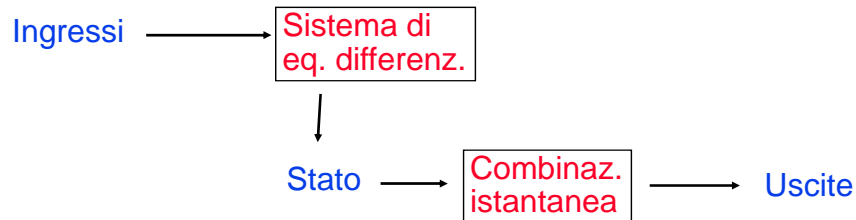
Possibilità di incorporare semplicemente dati sperimentali

Metodi grafici

Requisito essenziale: **LINEARITA'**

Rappresentaz. Ingresso - Stato - Uscita

Basato sulla descrizione dei processi nel dominio del tempo.



stessa trattazione per sistemi MIMO e SISO

enfasi sui **fenomeni interni** al processo
(e.g. instabilità di grandezze non "osservabili")

procedure di calcolo automatizzato (per ottenere **prestazioni migliori**)

estensione a sistemi **non-stazionari** e **non-lineari**

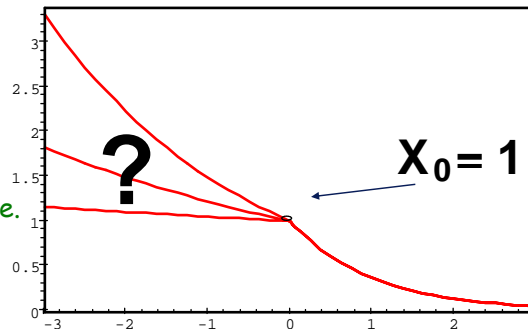
Cosa sono le VdS ?

Per il principio di **causalità**, esiste un insieme (minimo) di variabili fisiche che, ad un dato istante, determinano l'evoluzione futura del sistema, in assenza di eccitazioni esterne.

Queste sono le **Variabili di Stato** del sistema.

Esempio:
Scarica di un condensatore

La conoscenza per $t < 0$ non serve.
Basta sapere che $x(0)=1$.



Cosa sono (2)

- Definizione molto generale e intuitiva
- la scelta non è unica, ma il numero sì
- in generale non è facile sceglierle a occhio (per sistemi semplici, sì)

Se si ha

un sistema di equazioni differenziali (indipendenti) del primo ordine,
il numero di variabili di stato è uguale al numero di equazioni.

Nota: sicuramente c'è una
variabile di stato
per ogni grandezza fisica
connessa ad accumulo
(di energia).

Esempi
Energia cinetica --> Velocità
Energia elettrostatica --> tensione sul condens.
Accumulo di massa --> livello del serbatoio
"Accumulo di spazio" --> posizione

Modelli con le VdS

Σ non lineare

$$\begin{cases} \dot{\mathbf{x}} = \mathbf{f}(\mathbf{x}, \mathbf{u}) \\ \mathbf{y} = \mathbf{g}(\mathbf{x}, \mathbf{u}) \end{cases}$$



$$\begin{cases} \dot{x}_1 = f_1(x_1, \dots, x_n, u_1, \dots, u_m) \\ \vdots \\ \dot{x}_n = f_n(x_1, \dots, x_n, u_1, \dots, u_m) \\ \& \\ y_1 = g_1(x_1, \dots, x_n, u_1, \dots, u_m) \\ \vdots \\ y_l = g_l(x_1, \dots, x_n, u_1, \dots, u_m) \end{cases}$$

Σ lineare

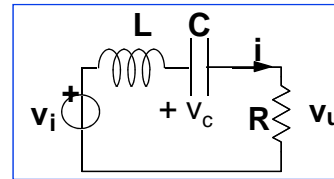
$$\begin{cases} \dot{\mathbf{x}} = \mathbf{A}\mathbf{x} + \mathbf{B}\mathbf{u} \\ \mathbf{y} = \mathbf{C}\mathbf{x} + \mathbf{D}\mathbf{u} \end{cases}$$



$$\begin{bmatrix} \dot{x}_1 \\ \dot{x}_N \end{bmatrix} = \begin{bmatrix} a_{11} & a_{1N} \\ a_{N1} & a_{NN} \end{bmatrix} \begin{bmatrix} x_1 \\ x_N \end{bmatrix} + \begin{bmatrix} b_{11} & b_{1M} \\ b_{N1} & b_{NM} \end{bmatrix} \begin{bmatrix} u_1 \\ u_M \end{bmatrix}$$

$$\begin{bmatrix} y_1 \\ y_p \end{bmatrix} = \begin{bmatrix} c_{11} & c_{1N} \\ c_{p1} & c_{pN} \end{bmatrix} \begin{bmatrix} x_1 \\ x_N \end{bmatrix} + \begin{bmatrix} d_{11} & d_{1M} \\ d_{p1} & d_{pM} \end{bmatrix} \begin{bmatrix} u_1 \\ u_M \end{bmatrix}$$

$$\begin{cases} L \frac{di}{dt} = -(v_c(t) + Ri) + v_i(t) \\ C \frac{dv_c}{dt} = i(t) \end{cases}$$



si pone $x = \begin{bmatrix} x_1 \\ x_2 \end{bmatrix} = \begin{bmatrix} i \\ v_c \end{bmatrix} \quad u = v_i$

$$\begin{cases} \dot{x}_1 = -\frac{1}{L}x_2 + \frac{R}{L}x_1 + \frac{1}{L}v_i \\ \dot{x}_2 = \frac{1}{C}x_1 \end{cases}$$

$$\dot{x} = \begin{bmatrix} \frac{R}{L} & -\frac{1}{L} \\ \frac{1}{C} & 0 \end{bmatrix} x + \begin{bmatrix} \frac{1}{L} \\ 0 \end{bmatrix} u$$

Linearizzazione

Linearizzazione

Si opera attorno ad un **punto di equilibrio**.

Per modelli nello stato:

$$\dot{x} = f(x, u)$$

1. Equilibrio: calcolare x_0, u_0 : $f(x_0, u_0) = 0$

2. variazioni $x = x_0 + \Delta x$, $u = u_0 + \Delta u$

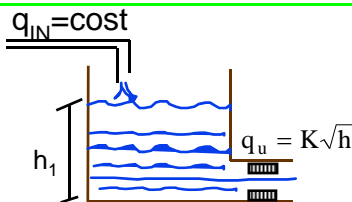
3. espansione in serie di Taylor → equazioni linearizzate

$$f(x, u) = \cancel{f(x_0, u_0)} + f_x(x_0, u_0)\Delta x + f_u(x_0, u_0)\Delta u$$

Se $\#(\text{var. di stato})$ o $\#(\text{ingressi}) > 1$,
 f_x e f_u sono jacobiani

$$f_x = \begin{Bmatrix} \frac{\partial f_1}{\partial x_1} & \dots & \frac{\partial f_1}{\partial x_n} \\ \vdots & \ddots & \vdots \\ \frac{\partial f_n}{\partial x_1} & \dots & \frac{\partial f_n}{\partial x_n} \end{Bmatrix} \quad f_u = \begin{Bmatrix} \frac{\partial f_1}{\partial u_1} & \dots & \frac{\partial f_1}{\partial u_n} \\ \vdots & \ddots & \vdots \\ \frac{\partial f_n}{\partial u_1} & \dots & \frac{\partial f_n}{\partial u_n} \end{Bmatrix}$$

Esempi di Linearizzazione



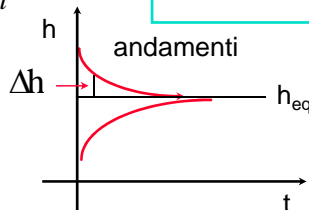
da cui: $A \dot{h} = q_{IN} - K\sqrt{h}$

Equazione non lineare

Equazione linearizzata per $h \cong h_{eq}$

$$A \Delta \dot{h} = -\frac{K}{2\sqrt{h_{eq}}} \Delta h$$

$$\Delta \dot{h} = -K' \Delta h$$



Conservazione della massa

$$A dh = q_{IN} dt - q_u dt$$

accumulo ingresso uscita

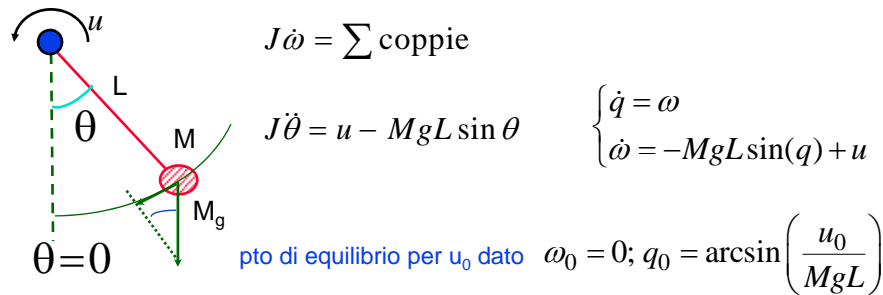
Condizione di equilibrio

$$\dot{h} = 0 \Rightarrow q_{IN} = K\sqrt{h_{eq}}, \quad h_{eq} = (q_{IN} / K)^2$$

$$\Delta h = h - h_{eq} \quad \text{piccolo !}$$

$$A \Delta \dot{h} = \cancel{q_{in}} - \cancel{K\sqrt{h_{eq}}} - \frac{K}{2\sqrt{h_{eq}}} \Delta h$$

Pendolo linearizzato 1



variazioni intorno all'equil. $\Delta q = q - q_0; \Delta \omega = \omega - \omega_0; \Delta u = u - u_0;$

equaz. linearizzate

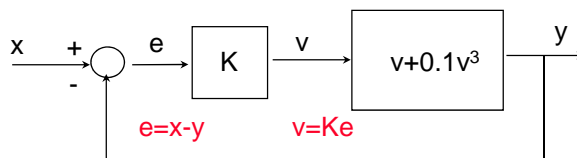
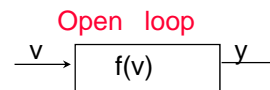
$$\begin{cases} \Delta \dot{q} = \Delta \omega \\ \Delta \dot{\omega} = -MgL \cos(q_0) \Delta q + \Delta u \end{cases}$$

$\left. \frac{d \sin(q)}{dq} \right|_{q=q_0}$

La linearizzazione operata dalla controreazione

Relazione lineare desiderata: $y=x$

Relazione non lineare reale: $y=v+0.1v^3=f(v)$



Closed loop:
 $K(x-y)+0.1K^3(x-y)^3-y$

Risolvere $(x-y)^3 + \frac{K(x-y)-y}{0.1K^3} = 0$

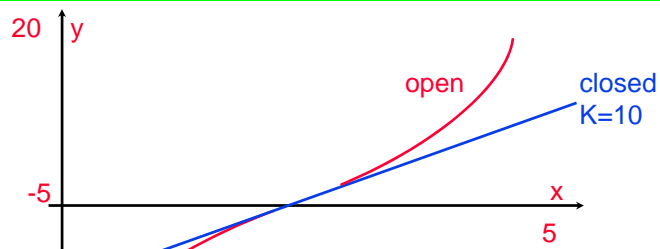
per $K \rightarrow \infty$ si ha $(x-y)^3=0 \rightarrow x=y !$

altra soluzione

$$y = x - \frac{1}{K} \sqrt[3]{\frac{K(x-y)-y}{0.1}}$$

Diminuisce quando
 K diminuisce

...Risultati Numerici



x	open	K=10	K=100
-5	-17.5	-4.73	-4.95
-4	-10.4	-3.76	-3.97
..
..
0	0	0	0
..
+4	+10.4	+3.76	+3.97
+5	+17.5	+4.73	+4.95